

3. Условия развития, геометрические размеры и форма ЖЛФ имеют принципиальное отличие от обычного (классического) ламинарного факела.

#### ЛИТЕРАТУРА

- Гейдон А. Г., Вольфгард Х. Г. Пламя, его структура, излучение и температура.— М.: Металлургиздат, 1959.
- Щетинков Е. С. Физика горения газов.— М.: Наука, 1965.

г. Днепропетровск

Поступила в редакцию 28/IV 1989,  
после доработки — 24/X 1989

УДК 536.46 : 629.7

Н. Н. ПАНЧЕНКО

### ВЗАИМОДЕЙСТВИЕ КОЛЕБАНИЙ ДАВЛЕНИЯ С ПРОЦЕССОМ ГОРЕНИЯ

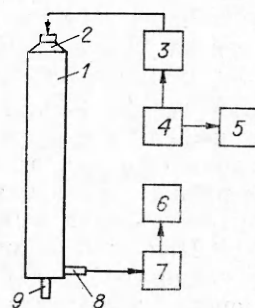
При сжигании топлив в форсированных топочных устройствах, например камерах сгорания ГТД, существенное значение приобретает шум, генерируемый пламенем [1]. Из-за корреляции между пульсациями давления и скорости этот шум может оказывать влияние на горение, изменяя его характеристики, или даже вызывать вибрационное горение [2]. В [3] изучалось влияние звука на открытый диффузионный факел с целью управления процессом горения. Обнаружено, что в зависимости от частоты колебаний давления изменяется распределение средней температуры.

В настоящей работе предпринята попытка экспериментального изучения акустических характеристик пламени при воздействии на него колебаний давления. В экспериментах использовалась струйная горелка, работающая на перемешанных воздухе и пропане. Диаметр выходного отверстия горелки — 4 мм. Горелка 9 (рис. 1) размещена в нижнем торце акустического резонатора 1 и акустически задемпфирована от системы подачи. Длина акустического резонатора — 1070 мм подобрана из расчета, чтобы его собственные акустические частоты определялись соотношением  $f_n = 200n$ , где  $n = 1, 2, 3, \dots$  — номера гармоник. Кроме этого, резонатор работал как гельмгольцевский на частоте 50 Гц.

Акустические колебания генерировались генератором электрических колебаний ГЭ-118 4, сигнал с которого контролировался цифровым частотомером ЧЗ-35 5 и усиливался усилителем мощности ТУ-100 3, после чего подавался на электродинамическую головку ЭДГ-10 2. Возмущения давления регистрировались электретным микрофоном МКЭ-2 8, затем усиливались измерительным усилителем У5-10 7. Спектральный состав сигнала изучался третьоктавным анализатором спектра 01-024 (ГДР) 6.

В экспериментах суммарный расход топлива составлял 0,12 г/с, скорость истечения горючей смеси — 4,1 м/с. На одной из собственных акустических частот резонатора возбуждали регулярные колебания давления различной интенсивности. При этом регистрировался уровень шума на всех резонансных частотах до 1000 Гц. Эксперименты повторялись.

Рис. 1. Схема экспериментальной установки и системы измерений.



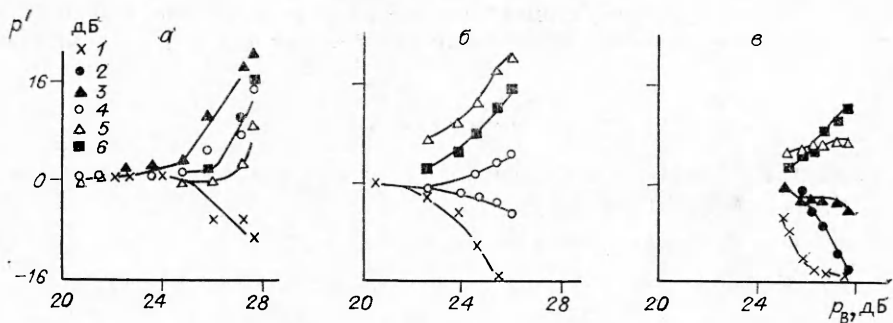


Рис. 2. Уровни возмущений давления на резонансных частотах.  
 $f_b$ , Гц: а — 208, б — 415, в — 610.  $p'$ , Гц: 1 — 50, 2 — 200, 3 — 400, 4 — 630, 5 — 800, 6 — 1000.

ряли при различных значениях коэффициента избытка окислителя  $\alpha$ .

Для исключения ошибок, связанных с нелинейными характеристиками мембранный электродинамической головки и цепи генерации, усиления и регистрации электрических колебаний, сделаны замеры в отсутствие горения. Они показали, что погрешности, вызванные нелинейными эффектами, не выходят за пределы точности настройки аппаратуры и проводимых измерений.

Результаты экспериментов представлены на рис. 2 и 3. По оси абсцисс отложен уровень возмущений давления  $p'_v$ , возбуждаемых в зоне горения на заданной частоте  $f_b$ , по оси ординат — уровень возмущений давления  $p'$  на исследуемой частоте  $f_m$ . Для удобства сопоставления данных, уровни возмущений давления приведены в децибеллах, в качестве опорных значений приняты соответствующие уровни шума пламени, измеренные в отсутствие вынужденных колебаний. На рис. 2 показаны результаты экспериментов по изучению поведения спектральных компонентов шума в зависимости от частоты и интенсивности вынужденных колебаний. Видно, что низкочастотные (по отношению к  $f_b$ ) компоненты спектра уменьшаются с ростом  $p'_v$ , а высокочастотные растут.

Наиболее чувствительно к внешним пульсациям давления корневое сечение струи газа [4], где поперечные градиенты скорости в слое смешения наибольшие. В этом случае облучение факела акустическими колебаниями на частоте  $f_b$  способствует разрушению крупномасштабных вихрей, ответственных за низкочастотные компоненты спектра шума, и росту мелкомасштабных, ответственных за высокочастотные компоненты. Особенно подвержены воздействию компоненты спектра на удвоенных частотах. При  $f_b = 208$  Гц (первая акустическая мода колебаний) наиболее сильно менялся уровень шума на второй акустической моде ( $f_m = 400$  Гц) (рис. 2, а), а при  $f_b = 415$  Гц (вторая акустическая мода) — на четвертой ( $f_m = 800$  Гц) (рис. 2, б). Такое удвоение частоты обусловлено тем, что акустические возмущения в пламенах генерируются при ускорении фронта горения [1], поэтому за один период гидродинамических возмущений в струе газа, вызванных внешним акустическим полем, дважды ускоряется фронт горения, приводя к колебаниям давления на удвоенной частоте.

Влияние акустических колебаний на горение начинает проявляться при  $p'_v = 20 \div 24$  дБ. Вероятно, это вызвано конечным уровнем турбулентности в струе газа, истекающего из горелки, так как уровень пульсаций скорости, генерируемых при взаимодействии колебаний давления с процессом горения, должен превысить уровень собственных турбулентных пульсаций в струе газа.

При изменении соотношения компонентов топлива в сторону увеличения избытка одного из них уменьшается энерговыделение в зоне горения и, как следствие, увеличивается длина факела, снижаются градиенты усредненных параметров, что ослабляет чувствительность пламени к внешним акустическим возмущениям.

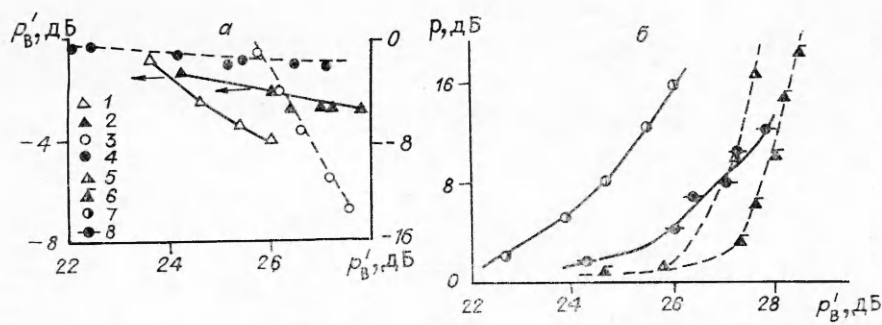


Рис. 3. Влияние  $\alpha = 1,0$  (1, 3, 5, 7),  $\alpha = 3,2$  (2, 4, 6, 8) на чувствительность пламени к внешнему воздействию.

$f_M$ , Гц: а — 200, б — 1000.  $f_B$ , Гц: 1 — 415, 2 — 390, 3 — 610, 4 — 575, 5 — 208, 6 — 203, 7 — 415, 8 — 390.

На рис. 3 представлены уровни возмущений давления на резонансных частотах при воздействии на фронт пламени с частотой, более высокой по отношению к той, на которой регистрируется сигнал (рис. 3, а), и низкой (рис. 3, б), при различных значениях  $\alpha$ . Видно, что с ростом  $\alpha$  чувствительность горения к внешнему воздействию уменьшилась.

В проведенных экспериментах уровень пульсаций давления, генерируемых пламенем, составлял единицы паскалей. В реальных топочных устройствах уровни шумов на несколько порядков выше, поэтому обнаруженные эффекты могут проявляться в результате самовоздействия акустического шума, генерируемого пламенем, на процесс горения.

Автор благодарит В. Р. Кузнецова за полезное обсуждение работы, способствовавшее ее улучшению.

#### ЛИТЕРАТУРА

1. Патнэм А., Фолкнер Л. Аэрокосмическая техника, 1985, 3, 7.
2. Ballal D. R. AIAA J., 1986, 24, 7.
3. Лукачев С. В., Матвеев С. Г. Изв. вузов. Авиационная техника, 1988, 2.
4. Власов Е. В., Гиневский А. С. Колерентные структуры в турбулентных струях и следах // Итоги науки и техники/ВИНИТИ. Сер. МЖГ, 1986, 20.

г. Москва

Поступила в редакцию 28/II 1989,  
после доработки — 29/I 1990

УДК 662.581

А. Н. ЛЕОНОВ, М. Б. ИСМАИЛОВ

#### О ВЗАИМОДЕЙСТВИИ НАТРИЯ С КИСЛОРОД-, ХЛОР- И СЕРУСОДЕРЖАЩИМИ ОКИСЛИТЕЛЯМИ В РЕЖИМЕ ГОРЕНИЯ

Металлотермические процессы широко применяются во внепечной металлургии [1—3], пиротехнике [4—6], получении материалов методом СВС [7—9] и других отраслях техники, в связи с чем велик интерес к их исследованию. Однако такие процессы изучены слабо вследствие известных экспериментальных трудностей исследования реакций с участием конденсированных продуктов.

Взаимодействие азота натрия с оксидами, хлоридами, сульфидами на практике имеет место при горении азотгенерирующих пиросоставов [5, 10, 11], известно горение смесей азота натрия и металлов с образованием нитридов [12, 13]. В то же время смеси азота натрия с окислителями представляют собой модельные системы, удобные для изуче-